

شبیه سازی ذوب و تصفیه مستقیم فولاد

دکتر خطیب‌الاسلام صدرنژاد

دانشیار دانشگاه صنعتی شریف - دانشکده مهندسی متالورژی

مهندس عبدالرضا سیمچی

دانشجوی دکتری دانشگاه صنعتی شریف - دانشکده مهندسی متالورژی

چکیده

طراحی و ساخت راکتورهای "ذوب و تصفیه مستقیم" تابع سرعت انجام تحولات فیزیکوشیمیائی در قطعات غوطه‌ور در فازهای مذاب درون کوره است. ایجاد شرایط واقعی عمل برای تحقیق پیرامون نحوه و میزان تأثیر پارامترهای مربوط به طراحی کوره، انرژی و مواد بر سرعت ذوب و تصفیه شدن قطعات بسیار پرهزینه و مشکل است. لذا برای تعیین نحوه و میزان تأثیر عوامل مختلفی همچون نوع و بعد از کوره، آنالیز مواد، نرخ بار کردن و اندازه قطعات بر سرعت تولید محصول، فرآیندهای ذوب و تصفیه در قطعات غوطه‌ور بوسیله یک الگوی ریاضی-فیزیکی شبیه‌سازی شده است. شرایط عملیات به منظور دستیابی به حداقل بازدهی در فرآیندهای گرم شدن، احیاء، ذوب و تصفیه تا تولید آلیاژ مطلوب برای چند نمونه واقعی از فرآیندهای ذوب و تصفیه مستقیم بررسی شده‌اند.

مقدمه

فرآیندهای انتقال حرارت، انتقال جرم، واکنش شیمیائی، واکنش الکتروشیمیائی و جریان سیال نیاز به تجزیه و تحلیلهای دقیق موازنۀ جرمی - حرارتی بین مواد ورودی و خروجی با توجه به واکنشهای گرماگیر و گرم‌آواز و سینتیک تحولات همگن و غیرهمگن درون و بیرون فازها دارد. فهرست عوامل مهم مؤثر در طراحی فرآیند در جدول ۱ ذکر شده است.

عوامل مختلفی همچون سرعت احیاء اکسیدهای آهن، درجه احیاء اولیه، نسبت احتراق ثانویه، عیاربار، نوع زغال سنگ، کف آلوه شدن سرباره و میزان تلاطم فازهای مذاب دورن کوره بر بازدهی فرآیند ذوب و تصفیه مستقیم تأثیر دارند. این تأثیر به علت اندرکنشهای متقابل بین عوامل مختلف بسیار پیچیده بوده و ارزیابی دقیق آن تنها از طریق استفاده از مدل‌های کامپیوتری امکان‌پذیر است. انجام همزمان

جدول ۱- پارامترهای مؤثر در طراحی سیستم ذوب و تصفیه مستقیم

درجه احیاء اولیه سنگ معدن - بارگیری سنگ احیاء شده - استفاده از قراضه به عنوان قسمتی از بار ورودی - استفاده از انرژی الکتریکی - دمش اکسیژن و هوای نسبتها دلخواه - نسبت احتراق ثانویه.	ورودی	فرایند
- بازدهی انتقال حرارت از فاز گاز به فلز مذاب - درصد گرد و غبار تولید شده در راکتور - درصد اتلاف حرارت - درصد اتلاف انرژی الکتریکی در سیستمهای برقی	ورودی	راکتور
سنگ معدن - سنگ احیاء شده - قراضه - زغال سنگ - روانساز - گرد و غبار	بار	ورودی
درصد FeO سرباره - درجه قلیائی بودن سرباره	غلظت	
جرم و دما	متغیر	مواد
فلز - سرباره - دود	ماده	خر裘جی
وزن - حجم - دما - ترکیب شیمیائی	کمیت	

اکسیژن توسط دمندهای بالائی یا پائینی به داخل کوره دمیده شده و باعث انجام واکنشهای اکسیداسیون و تولید حرارت می‌شود. این حرارت صرف گرم و ذوب کردن مواد و انجام واکنشهای گرم‌گیر درون کوره خواهد شد.

گازهای متناکسیدکربن و هیدروژن که در اثر تجزیه حرارتی واکسیدشدن زغال سنگ و احیاء سنگ معدن در فازهای موجود در بالای مذاب درون کوره تولید می‌شوند، با اکسیژن یا هوا وارد واکنش شده و حرارت آزادشده به حمام منتقل می‌شود. این فرآیند که به احتراق ثانویه موسوم است بسیار گرم‌آبوده و می‌تواند به کسری موازنۀ حرارتی در داخل کوره کمک کند. گاز خروجی، پس از غبارگیری و تنظیم دما، برای پیش گرم کردن و احیاء اولیه وارد

در این مقاله اثرات متقابل عوامل مؤثر در طراحی از طریق تدوین و توسعه یک برنامه جامع کامپیوتري مبتنی بر اصول ترمودینامیکی حاکم بر سیستم و موازنۀ های جرمی و حرارتی ارائه شده است.

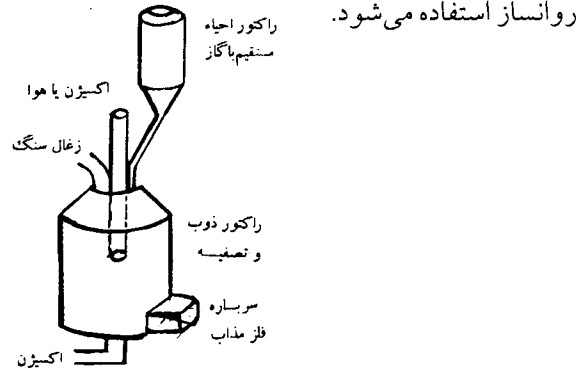
مدل‌سازی

الف - معرفی فرآیند

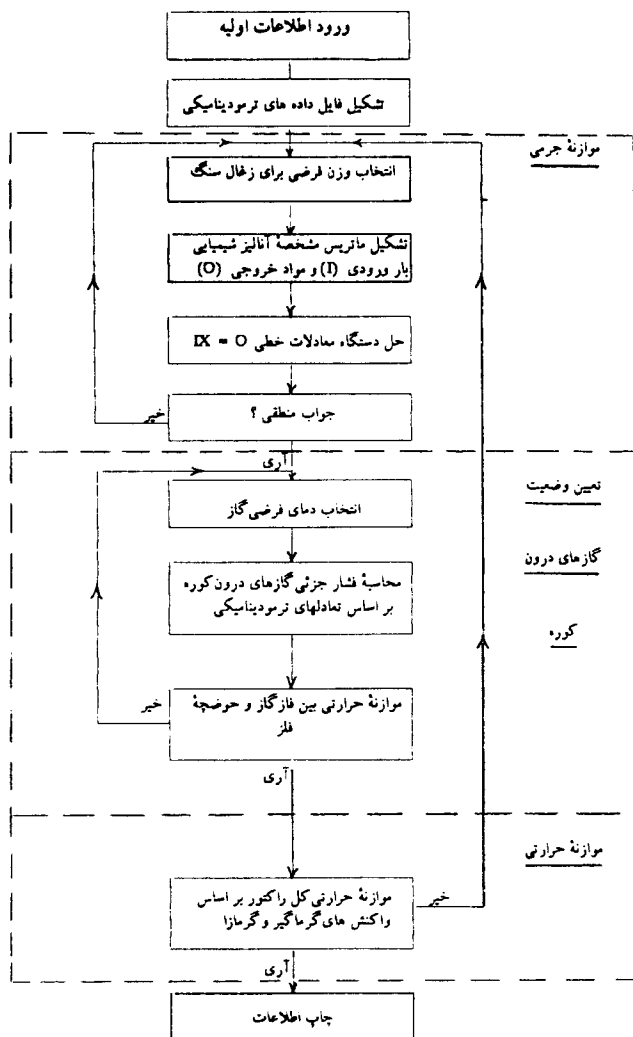
نمونه‌ای از فرآیند ذوب و تصفیه مستقیم فولاد مورد بررسی در این تحقیق در شکل ۱ نشان داده شده است. این فرآیند از دو واحد اصلی یکی راکتور ذوب و تصفیه مبتنی بر روش فولادسازی اکسیژنی و دیگری واحد احیاء مستقیم با گاز تشکیل شده است. در این راکتور، مواد تغليظ شده یا پلت‌های احیاء شده به داخل آهن مذاب پرکربن بار می‌شوند.

ذوب و تصفیه را نشان می‌دهد. ابتدا فایل داده‌های ترمودینامیکی (مانند حرارت محسوس مواد، تفاوت انتالپی واکنشها و ظرفیت حرارتی مواد) ایجاد می‌شود. سپس با انتخاب مقدار فرضی برای زغال سنگ بر اساس موازنۀ جرمی بین مواد ورودی و خروجی، ماتریس مشخصه آنالیز شیمیائی بار ورودی (ماتریس I) و مواد خروجی (ماتریس O) ساخته می‌شود. با حل دستگاه معادلات خطی ۱ مجهولات فرآیند شامل وزن مواد مصرف شده به ازای هر تن فلز مذاب محاسبه می‌شود:

محفظة احیاء می شود^(۱). مواد سنگی کانه آهن و خاکستر زغال سنگ به سرباره مذاب تبدیل شده و از آهک به عنوان روانساز استفاده می‌شود.



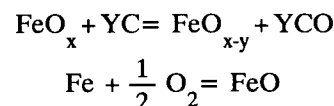
شکل ۱-نمودار تصویری فرآیند ذوب و تصفیه مستقیم فولاد که برای مدلسازی مورد استفاده قرار گرفته است.



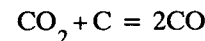
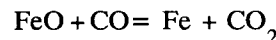
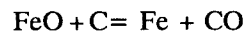
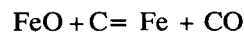
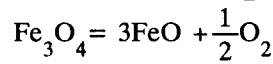
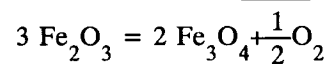
جدول ۲- واکنشهای شیمیائی مطرح شده و در مدلسازی.

الف - فلز:

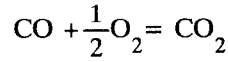
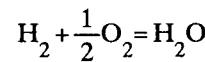
$$C = \underline{C}$$



ب - سرباره:



گاز



ب - معرفی مدل

شکل ۲ نمودار گردشی برنامه مدلسازی راکتور

شکل ۲-نمودار گردشی برنامه مدلسازی فرآیند ذوب و تصفیه مستقیم فولاد

خلاصه شده‌اند.

جدول ۳- اطلاعات اولیه استفاده شده در تحقیق.

پارامتر	مقدار
بازدهی انتقال حرارت حاصل از احتراق ثانویه (%)	۸۵
اتلاف حرارتی راکتور به صورت درصدی از کل حرارت تولید شده توسط واکنشهای گرمایما	۱۰
محتوای FeO سرباره بر حسب درصد وزنی	۵
درجه قلیابی بودن سرباره	۱
دماهی حوضچه فلز (K)	۱۷۲۳
درصد وزنی کربن در آهن مذاب	۳/۰
دماهی بار در راکتور پیش احیاء (K)	۱۰۷۳

کاربرد الگو در طراحی راکتور

برنامه کامپیوتری ساخته شده در این تحقیق

می‌تواند برای طرح یک راکتور ذوب و تصفیه مستقیم بکار رود. برای مثال یک راکتور ۵ تنی با سرعت تولید ۸,۷۰۰ تن در سال را در نظر بگیرید. تجزیه شیمیایی مواد مورد استفاده در این راکتور در جدول ۵ داده شده است. این مواد عبارتند از:

(الف) سنگ آهن تغییظ شده گل گوهر [۱ و ۲]

(ب) گندله ساخته شده از سنگ معدن گل گوهر دارای ۷۵٪ بستونیت [۱ و ۲].

(ج) گندله هماتیتی کم سیلیس تجاری [۳].

(د) قراضه برگشتی فولاد.

(ه) کوک خارجی [۴].

(و) نمونه کوک مصرفی ذوب آهن اصفهان [۴].

(ز) زغال سنگ آنتراسیت [۴].

نتایج محاسبات الگو بر روی این مواد در شکل‌های

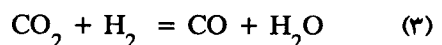
۳ تا ۷ خلاصه شده و در قسمتهای ذیل شرح داده می‌شوند:

$$\text{IX} = \text{O} \quad (1)$$

I ماتریس مشخصه آنالیز شیمیائی بار ورودی (ترکیب شیمیائی سنگ آهن، روانساز و ...) و X ماتریس مجھولهای سیستم مانند وزن بار کوره، تعداد مولهای گاز، وزن سرباره و ترکیب شیمیائی سرباره است.

فشار جزئی گازهای درون کوره با استفاده از نسبت احتراق ثانویه (معادله ۲) و ثوابت تعادل بین گازها بر اساس واکنش گاز - آب (معادله ۳) تعیین می‌شود:

$$\text{PC} = 100 \left(\frac{\text{P}_{\text{CO}_2} + \text{P}_{\text{H}_2\text{O}}}{\text{P}_{\text{CO}_2} + \text{P}_{\text{CO}} + \text{P}_{\text{H}_2\text{O}} + \text{P}_{\text{H}_2}} \right) \quad (2)$$



احتراق ثانویه گاز، شرط تعادل دمایی گاز در حوضچه فلزی را مختل می‌کند. بازدهی انتقال حرارت حاصل از احتراق ثانویه به فازهای مذاب (η_{PC}) به صورت زیر تعریف شده و برای آن مقداری ثابت در نظر گرفته می‌شود:

$$\eta_{\text{PC}} = 100 \frac{\Delta H_{\text{PC}}}{\Delta H_{\text{I}}} \quad (4)$$

- ΔH_{PC} : حرارت حاصل از احتراق ثانویه در دمای گاز.
 ΔH_{I} : حرارت حاصل از احتراق ثانویه در دمای فلز مذاب. با انتخاب مقدار فرضی برای دمای گاز، ابتدا آنالیز گاز درون راکتور محاسبه می‌شود و نهایتاً با استفاده از موازنۀ حرارتی بین گاز، سرباره و فلز، دمای واقعی گاز در یک حلقة تکرار تعیین می‌شود. مرحله نهایی موازنۀ حرارتی کل راکتور است تا اینکه وزن زغال سنگ فرض شده بدرستی تعیین شود. واکنشهای شیمیائی و اطلاعات اولیه‌ای که در این تحقیق مورد استفاده قرار گرفته‌اند، در جدولهای ۴,۳,۲

جدول ۴- اطلاعات ترمودینامیکی استفاده شده در تحقیق [۲۱]

i	$-\Delta H_f^{298}$ (Kcal/Kmol)	$C_p = a_i + b_i T/10^3 + C_i 10^5/T^2 + d_i T^2/10^6$				T(k)
		a _i	b _i	c _i	d _i	
Al ₂ O ₃	۴۰۰	۲۷/۴۳	۳/۰۶	-۸/۴۷		۲۹۸۰-۱۸۰۰
C	°	۰/۰۲۶	۹/۳۰۷	-۰/۳۵۴	-۴/۱۵۵	۲۹۸۰-۱۸۰۰
C	...	۵/۸۴۱	۰/۱۰۴	-۷/۰۰۹		۱۱۰۰-۴۰۷۳
CO	۲۶/۴۲	۶/۷۹	۰/۹۸	-۰/۱۱		۲۹۸-۲۵۰۰
CO ₂	۹۴/۰۰	۱۰/۰۰	۲/۱۶	-۲/۰۴		۲۹۸-۲۵۰۰
CaO	۱۰۱/۶	۱۱/۸۶	۱۰/۸	-۱/۴۴		۲۹۸-۲۸۸۸
Fe	°	۴/۱۸	۰/۹۲			۲۹۸-۱۰۳۳
Fe	...	۹				۱۰۲۳-۱۱۳۸
Fe	...	۱/۸۴	۴/۶۶			۱۱۸۳-۱۶۷۳
Fe	...	۱۰/۰				۱۶۷۳-۱۸۰۹
FeO	۶۵/۰۲	۱۲/۱۴۲	۲/۰۰۹	۰/۷۹۱		۲۹۸-۱۶۵۰
FeO	...	۱۶/۳				۱۶۵۰-۳۶۸۷
Fe ₃ O ₄	۲۶۷/۳	۲۰/۶۱۸	۴۹/۹۳۲			۲۹۸-۸۶۶
Fe ₃ O ₄	...	۴۸				۸۶۶-۱۸۷۰
Fe ₂ O ₃	۱۹۷/۳	۲۳/۴۹	۱۸/۶	-۳/۵۵		۲۹۸-۹۵۳
Fe ₂ O ₃	...	۳۶				۹۵۳-۱۰۰۳
H ₂	°	۶/۰۲	۰/۷۸	۰/۱۲		۲۹۸-۳۰۰۰
H ₂ O	۰۷/۹۰	۷/۷۱	۲/۰۶	۰/۰۸		۲۹۸-۲۵۰۰
MgO	۱۴۳/۷	۱۱/۷۰۷	۰/۷۰۱	-۲/۷۳۴		۲۹۸-۳۰۹۸
N ₂	°	۶/۶۶	۱/۰۲			۲۹۸-۲۵۰۰
O ₂	°	۷/۱۶	۱	۰/۴		۲۹۸-۳۰۰۰
SiO _{2(cry)}	۲۱۷/۱	۱۱/۲۰۹	۷/۰۲۹	-۲/۴۱۲		۲۹۸-۰۴۳
SiO _{2(cry)}	...	۱۷/۱۱۹	۰/۴۰۲	-۹/۳۳۵		

جدول ۵- تجزیه شیمیایی مواد مورد استفاده در طراحی در راکتور نیمه صنعتی ۵ تنی موضوع تحقیق ارقام جدول بر حسب درصد وزنی بیان شده‌اند.

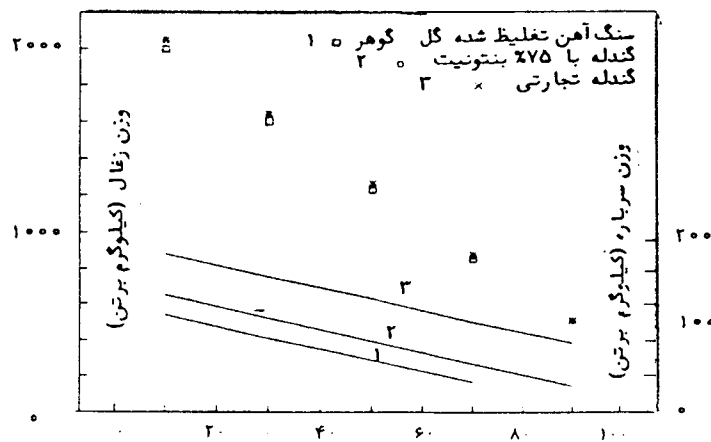
ردیف	فسفر	گالیوم	آپیمینزینوم	آرگونکلر	آوتومات	نیتریت	معادن	بلیکر	میکر	ماده	ردیف
۱/۵	۰/۰۳	۰/۰۶	۰/۵۰	۰/۱۰	۰/۱۵	۰/۶	۷۲/۰	۲۵/۰	۶۸/۴	پودر سنگ آهن تغییر شده گل‌گوهر	سنگ
—	۰/۰۳	۰/۰۰۳	۰/۵۰	۰/۱	۰/۳	۱/۱	۹۷/۰	≤۱/۰	۶۸/۶	گندله ساخته شده از سنگ گل‌گوهر با ۷۵٪ بتونیت	معدن و
—	۰/۰۰۵	۰/۰۰۹	۰/۱۹	۰/۱۹	۰/۲۹	۲/۶۸	۹۶/۵	—	۶۷/۰۵	گندله کم‌سیلیس تجاری از نوع هماتیتی	قراضه
Mn = ۰/۵ Si = ۰/۲ C = ۰/۴				قراضه برگشتی				د			
ترکیب شیمیائی خاکستر						نیتریت	بلیکر	میکر	S	C	نوع سوخت
P جزئی	Fe ₂ O ₃ ۱۵-۳۰	MgO جزئی	CaO جزئی	Al ₂ O ₃ ۳۲-۴۶	SiO ₂ ۴۸-۵۴	۱۰-۱۲	۲-۴	۱-۳	جزئی	۸۱-۸۵	وارداداتی ه
۰/۲۹	۶/۸	۱/۹	۴/۲	۲۲/۴	۵۴	۲۴/۱	۱/۳	جزئی	۰/۶	۷۵/۶	ذوب آهن اصفهان و
۰/۴-۱/۲	۱۹-۲۳	۱-۳	۰-۷	۲۶-۲۷	۳۳-۳۷	۴-۵	۴-۶	۲-۴	جزئی	۸۰-۹۰	آنتراسیت زغال سنگ

احیاء اولیه می‌تواند منجر به کاهش مصرف سوخت و نتیجتاً کاهش هزینه‌های تولید فلز مذاب شود، اما به علت کاسته شدن از ضخامت قشر سرباره که نقش محافظ را برای فلز مذاب داشته و محمل انجام واکنشها برای تولید و تصفیه فلز است [۵، ۶]، خطر اکسیدشدن مجدد فلز و تنزل میزان و سرعت تولید بوجود می‌آید.

مقایسه منحنیهای شکل ۳ نشان می‌دهد که تغییر نوع سنگ معدن تأثیر چندانی بر میزان مصرف زغال سنگ ندارد. اما در صورت افزایش مواد سنگی همراه، مقدار سرباره تولید شده نیز بالطبع اضافه خواهد شد و این موضوع در مورد سنگهای وارداتی (ماده ج جدول ۵) در منحنی مربوط در شکل ۳ دیده می‌شود. از طرف دیگر با توجه به پیچیدگی الگوهای مربوط به تأثیر اندازه و شکل مواد مصرفی بر سرعت واکنشهای شیمیائی و انتقال حرارت در کوره ذوب و تصفیه مستقیم، برای سهولت از این نوع تفاوتها در محاسبات فعلاً صرفنظر می‌شود.

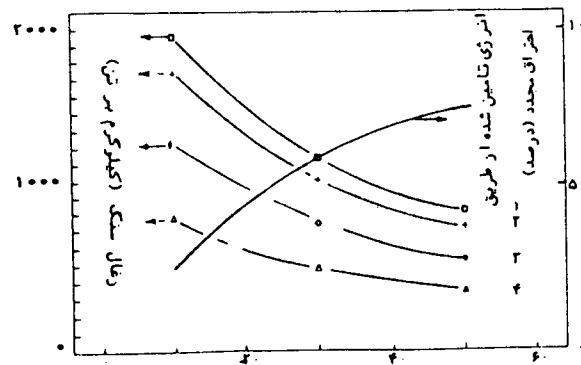
ب - نسبت احتراق ثانویه

احیاء اکسید آهن و گازی شدن زغال سنگ هر دو باعث تولید مقادیر قابل توجهی گاز در راکتور ذوب و تصفیه مستقیم می‌شوند. دما و پتانسیل احیائی این گاز نسبتاً بالا بوده و در نتیجه احیای سنگ آهن تا درصد های بالا توسط گاز امکان‌پذیر است. راه دیگر برای بازیابی انرژیهای حرارتی و شیمیائی گاز کنترل فشار جزئی اکسیژن داخل راکتور به منظور احتراق درصدی از CO و H_2 موجود در گاز و تأمین قسمتی از انرژی حرارتی مورد نیاز راکتور است (شکل ۴). این تحول که به احتراق ثانویه معروف است، سبب کاهش مصرف زغال سنگ نوع آنتراسیت هنگام ذوب و تصفیه گندله‌های دارای ۷۵ درصد بنتونیت با بازدهی حرارتی ۸۵



درصد احیاء اولیه سنگ آهن

شکل ۳- تأثیر افزایش درجه احیاء اولیه بر مصرف آنتراسیت و تولید سرباره در غیاب احتراق ثانویه. (نقاط روی شکل از محور سمت چپ و خطوط پر از محور سمت راست خوانده می‌شوند).



نسبت احتراق ثانویه (درصد)

شکل ۴- اثر نسبت احتراق ثانویه بر میزان مصرف زغال سنگ آنتراسیت و درصد انرژی تأمین شده از احتراق ثانویه گاز. درصد احیاء اولیه و دمای بار در راکتور پیش احیاء بترتیب: ۱-۰، ۲-۲۵، ۳-۵۰، ۴-۳۵۰ و ۵-۸۰۰ و ۶-۸۰۰ و ۷-۶۰۰ و ۸-۴۰۰ و ۹-۲۰۰ و ۱۰-۱۰۰ و ۱۱-۵۰ و ۱۲-۲۰ و ۱۳-۱۰ و ۱۴-۵ و ۱۵-۲ و ۱۶-۱ و ۱۷-۰. بوده است.

الف: درجه احیاء اولیه

شکل ۳ نشان می‌دهد که افزایش درجه احیاء اولیه سبب کاهش مصرف زغال سنگ و وزن سرباره می‌شود. باید توجه داشت که این محاسبات مربوط به شرایطی است که در آن احتراق ثانویه وجود نداشته باشد. پتانسیل احیائی گازهای CO و H_2 در راکتور ذوب و تصفیه مستقیم در این حالت حداقل است. اگرچه بر اساس این منحنیها، افزایش درجه

ج - بازدهی انتقال حرارت

بازدهی انتقال حرارت از فاز گاز به فازهای مذاب درون کوره به شدت تلاطم مذاب، نوع و مشخصات زغال سنگ بارشده و تعداد، مکان و طرح دمنده‌های اکسیژن بستگی دارد. برای افزایش میزان تلاطم، می‌توان اکسیژن دمیده شده را با گاز CO_2 یا N_2 مخلوط کرده و عمل دمش رانیز از کف انجام داد. تحقیقات انجام شده در کوره نیمه صنعتی [۸] نشان داده است که با افزایش شدت تلاطم به بیش از ۲ کیلووات بر تن، بازدهی انتقال حرارت می‌تواند از مرز ۹۰ درصد بگذرد. افزایش بازدهی انتقال حررات به بازیابی حررات محسوس گازها کمک کرده و از مشکل ورود گاز داغ به راکتور احیاء مستقیم می‌کاهد.

تأثیر نسبت احتراق ثانویه بر بازدهی انتقال حررات را می‌توان با کمک موازنۀ حرارتی در کوره‌های واقعی ذوب و تصفیه مستقیم بدست آورد. این تأثیر برای کوره ۵ تنی نیمه صنعتی مورد اشاره در مرجع ۹ به صورت رابطه ۵ قابل تعیین است:

$$\eta_{pc} = \frac{PCR}{100}^{0.9} \cdot \frac{1}{P} \quad (5)$$

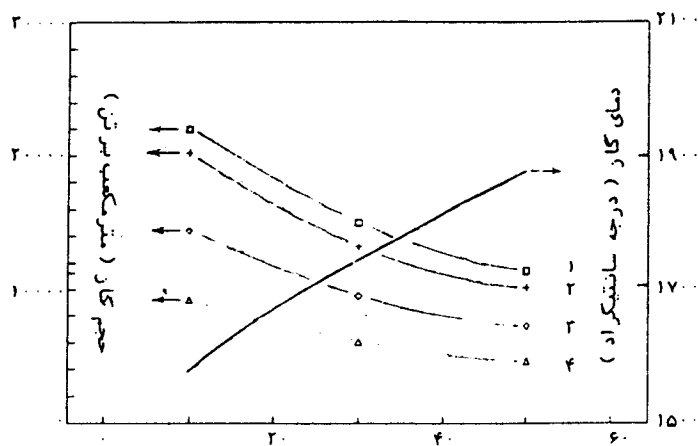
که در آن P کمیتی است تجربی نشانده‌نده تعداد دمنده‌های اکسیژن، وسعت منطقه احتراق ثانویه در فاز سرباره و سرعت ظاهری گاز.

رابطه ۵ به وضوح نشان می‌دهد که برای دستیابی به یک بازدهی حرارتی معین، لازم است دو کمیت PCR و P را بنحوی کنترل کرد که با افزایش نسبت احتراق ثانویه از بازدهی حرارتی کاسته نشود (شکل ۶). مثلاً در صورت افزایش PCR ، لازم است تعداد و سطح پوشش دمنده‌های اکسیژن در فاز سرباره نیز بیشتر شود. بنابراین به نظر می‌رسد که در طراحی راکتورهای ذوب و تصفیه مستقیم تعداد و

درصد در شکل ۴ شده است.

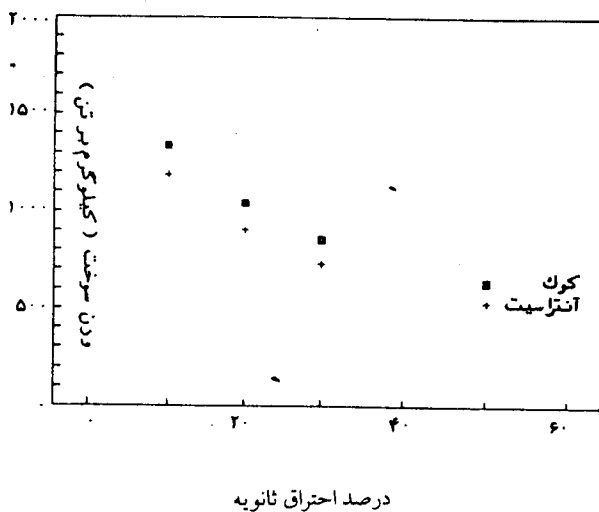
باید توجه داشت که استفاده از انرژی حاصل از احتراق ثانویه منوط به انتقال سریع حرارت از فاز گاز به حوضچه فلز و سرباره است. آزمایش‌های انجام شده در مقیاس نیمه صنعتی توسط سایر محققین [۷ و ۸] نشان داده است که بازدهی انتقال حررات از فاز گاز با افزایش نسبت احتراق ثانویه کاهش می‌یابد. از حجم و پتانسیل گاز خروجی نیز بر اساس ارقام حاصل از این تحقیق با افزایش نسبت احتراق ثانویه کاسته می‌شود در حالی که با اضافه شدن نسبت احتراق ثانویه، دمای گاز فزوئی می‌یابد (شکل ۵).

اضافه شدن دمای گاز تأمین‌باکاهش بازدهی انتقال حرارت در اثر افزایش نسبت احتراق ثانویه می‌تواند اختلالاتی را در کار راکتورهای ذوب و تصفیه مستقیم به وجود آورد. برای مثال دمای طراحی شده کوره‌های احیاء مستقیم که معمولاً بین ۸۰۰ تا ۸۵۰ درجه سانتیگراد است، با استفاده از گازهای داغ خروجی راکتور ذوب می‌تواند دستخوش تغییر و نوسان شود. در عوض استفاده از گازهای محترق شده با پتانسیل احیائی کم در کوره‌های احیاء مستقیم، می‌تواند لزوم افزایش دبی و تغییر ترکیب شیمیائی را خاطر نشان سازد.



نسبت احتراق ثانویه (درصد)

شکل ۵- اثر نسبت احتراق ثانویه بر حجم و درجه حرارت گاز خارج شده از راکتور. درصد احیاء اولیه و دمای بار در راکتور پیش احیاء بترتیب: ۱-۲۵ و ۲-۲۰ و ۳-۳۰ و ۴-۴۰ و ۵-۵۰ و ۶-۶۰ بوده است.



درصد احتراق ثانویه

شکل ۷- اثر درصد احتراق ثانویه بر مصرف کوک ذوب آهن و زغال سنگ آنتراسیت برای باری که 30% پیش احیاء شده است.

شرایط بهینه اقتصادی

بمنظور دستیابی به شرایط بهینه فرایند ذوب و تصفیه مستقیم از نظر اقتصادی، محاسبات الگو را می‌توان برای مواد مصرفی و شرایط متفاوت تکرار کرده و نتایج را با هم مقایسه کرد. برای مثال ارزیابی تأثیر نوع سوخت بر هزینه فرایند منجر به نتایج نشان داده شده در شکل‌های ۸ و ۹ می‌شود. این محاسبات برای دو راکتور ۵ تنی تحت شرایط زیر انجام شده است:

راکتور اول:

درجه احیاء اولیه 30 درصد و نسبت احتراق ثانویه 50 درصد است.

راکتور اول:

درجه احیاء اولیه 60 درصد و نسبت احتراق ثانویه 30 درصد است.

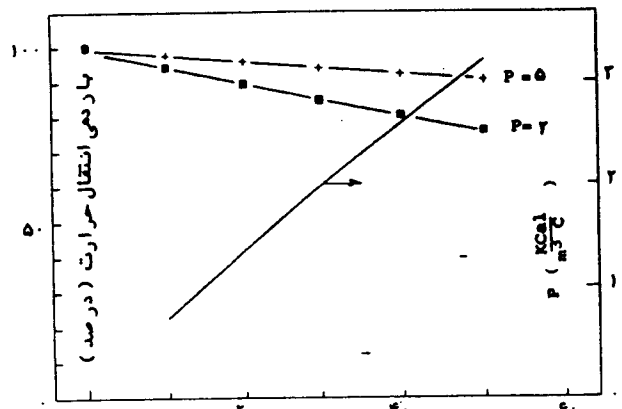
هزینه‌های نسبی بر اساس ثابت بودن نسبتهای دو به دوی قیمت سوختها تعیین و ترسیم شده است. برای مثال اگر قیمت کوک وارداتی تا 20 درصد بیشتر از قیمت کوک

ارتفاع دمنده‌های اکسیژن از سطح سرباره حائز اهمیت بسیاری می‌باشد که لازم است به آن توجه شود.

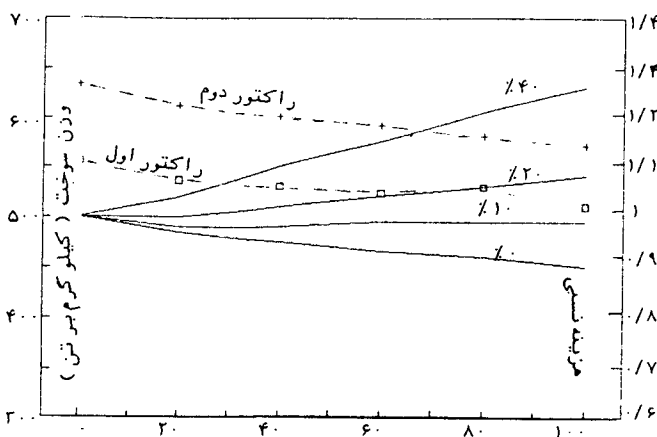
د- انتخاب سوخت

نوع سوخت بارشده بر بازدهی انتقال حرارت و میزان سوخت تأثیر دارد. یک نمونه از این نوع تأثیر در شکل ۷ نمایش داده شده است. اگر چه دستیابی به بازدهی حرارتی صدر صد در شرایط عملی غیرممکن به نظر می‌رسد، لکن با تغییر نوع سوخت و شرایط احتراق ثانویه ممکن است بتوان صرفه جوئی قابل توجهی در میزان مصرف سوخت به وجود آورد. برای مثال اطلاعات شکل ۷ نشان می‌دهد که استفاده از زغال سنگ آنتراسیت به جای کوک ذوب آهن اصفهان می‌تواند باعث کاهش مصرف سوخت شود. البته مقدار تفاوت با افزایش نسبت احتراق ثانویه، مرتب‌آکوچکتر می‌شود.

در اینجا باید توجه کرد که کاهش مصرف سوخت ضرورت‌آب معنای اقتصادی‌تر شدن فرایند نیست زیرا قیمهای مواد مصرفی و هزینه حمل و نقل، نقش اساسی در هزینه‌های فرایند دارند. علیهذا لازم است آزمایش‌های حساسیت الگو با توجه به شرایط واقعی فرایند به منظور دستیابی به شرایط بهینه انجام شود.

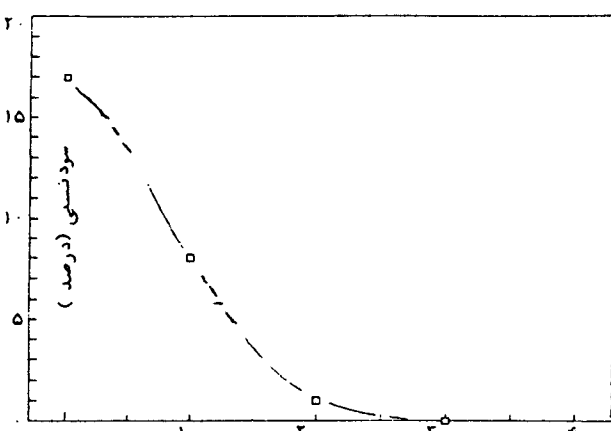


شکل ۸- اثر درصد احتراق ثانویه و مقدار P بر بازدهی انتقال حرارت.



درصد کوک وارداتی در مخلوط سوخت راکتور

شکل ۹-اثر درصد کوک وارداتی در مخلوط باکوک ذوب آهن بر مصرف سوخت و هزینه نسبی فرایند. خطوط درصد هزینه ثابت برای راکتور دوم ترسیم شده است.

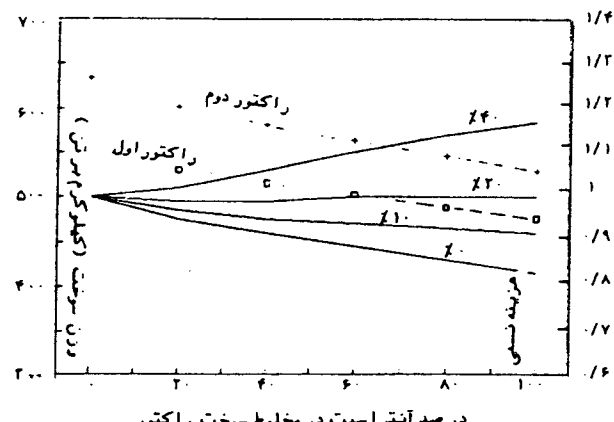


قیمت نسبی آنتراسیت به کوک ذوب آهن (%)

شکل ۱۰-اثر قیمت نسبی آنتراسیت به کوک ذوب آهن اصفهان بر سود حاصل از افزایش آنتراسیت در مخلوط سوخت.

ذوب آهن اصفهان باشد، استفاده از کوک اولی می‌تواند مقرر نشود به صرفه باشد. ولی اگر این افزایش به 3° درصد برسد، استفاده از کوک ذوب آهن اصفهان اقتصادی‌تر خواهد بود. منحنيهای شکلهای ۸ و ۹ مصرف سوخت راکتور اول را تا 85 کیلوگرم بر تن فلز مذاب کمتر از مصرف سوخت در راکتور دوم نشان می‌دهد.

اثر مخلوط کردن سوختها بر سود نسبی فرایند در شکل ۱۱ نمایش داده شده است. از این نوع اطلاعات می‌توان برای انتخاب بهترین مخلوط سوختها با توجه به قیمت انواع سوخت در بازار جهانی بهره جست. نمونه دیگری از این نوع اطلاعات در شکل ۱۱ نشان داده شده است که در آن مازاد سود نسبی برای راکتوری با تولید $500,000$ تن فلز مذاب در سال بر حسب قیمت کوک ذوب آهن اصفهان رسم شده است. اطلاعات شکل میزان فایده حاصل از مخلوط کردن را در صورت افزایش قیمت‌های داخلی آشکار می‌سازد.



درصد آنتراسیت در مخلوط سوخت راکتور

شکل ۸-اثر درصد زغال‌سنگ آنتراسیت در مخلوط باکوک ذوب آهن اصفهان بر مصرف سوخت و هزینه نسبی فرایند. خطوط درصد هزینه ثابت برای راکتور دوم ترسیم شده است.

سپاسگزاری

از معاونت پژوهشی دانشگاه صنعتی شریف به خاطر
حمایت مالی از تحقیق سپاسگزاری می‌شود.

فهرست منابع

۱- ناصر توحیدی، "احیاء مستقیم" جلد دوم، (۱۳۶۷) صفحه ۲۵

۲- Esfahan Steel-Works Long Products, Project Plan, Volume II, Assesment of Plant Alternatives. British Steel Corporation, 71.3, (Cited by Ref. 1).

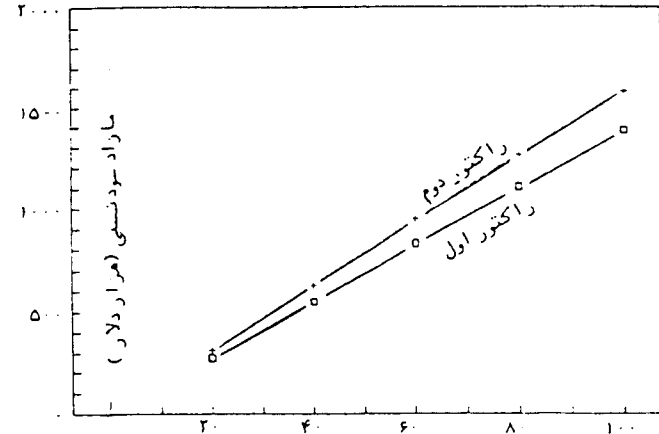
۳- ناصر توحیدی، "جزوه احیاء مستقیم"، دانشکده فنی دانشگاه تهران (۱۳۶۴)، صفحه ۳۵۰

۴- "فرو سیلیسیوم"، دفتر طرح و تحقیق شرکت صنایع فرو آلیاژ ایران، (۱۳۷۰).

۵- T. Ibaraki, M. Kanemoto, S. Ogata, H. Katayama and H. Ishikawa, "Development of Smelting Reduction of Iron Ore - An Approach to Commerical Ironmaking": I&SM. (December 1990), 30-37.

۶- Y. Kishimoto, K. Yamaguchi, S. Takeuchi, Y. Sakuraya and T. Fujii, "Smelting Reduction of Iron", 37.

۷- H. Katayama, T.Ohno, M. Yamauchi, M. Matsuo, T. Kawamura and T. Ibaraki, "Mechanism of Iron Oxide Reduction and Heat Transfer in the Smelting Reduction Process with a Thick Layer of Slag": Ore, "5 ton Test Converter": ISIJ International, Vol. 32 (1992), 95-101.



قیمت تمام شده کوک ذوب آهن (دلار بر تن)

شکل ۱۱- مازاد سودنسبی که در اثر مخلوط کردن کوک ذوب آهن با آنتراسیت به نسبت ۶۰ به ۴۰ برای طراحی یک راکتور با ظرفیت ۵۰۰۰۰۰ تن در سال بدست می‌آید. قیمت نوع ساخت یکسان فرض شده است.

نتیجه‌گیری و جمع‌بندی

شبیه‌سازی فرایند ذوب و تصفیه مستقیم می‌تواند اطلاعات ارزشمندی را در خصوص میزان مصرف و نوع ساخت، سرعت بارگیری و میزان تولید فلز مذاب، انتخاب نوع و میزان مواد خام و شرایط بهینه به کارگیری راکتور بدست دهد. به ویژه آنکه با توجه به پیچیدگی‌های فراوان فرایند، امکان آزمایش‌های عملی قبل از رسیدن به جوابهای قابل قبول از طریق محاسبات الگو، کاری دشوار و پر هزینه است.

الگوی ریاضی ساخته شده در این تحقیق می‌تواند کمک شایانی برای دستیابی به اطلاعات مورد نیاز در مورد فرایند ذوب و تصفیه مستقیم از طریق پیش‌بینی عملکرد راکتور تحت شرایط اجرائی گوناگون بدست دهد. نتایج محاسبات می‌توانند در عملیات طراحی و به کارگیری راکتور بکار رود.

8- T. Hirata, M. Ishikawa and S. Anezaki, "Stirring Effect in Bath-Smelting Furnace with Combined Blowing of Top and Side Blown Oxygen and Bottom Blown Nitrogen": ISIJ International, 32, 1, (1992), 95-101. Vol.

9-K.Takahashi, M. Muroya, K.Kondo, T. Hasegawa, I.Kikuchiand and M. Kawakami, "Post Combustion Behaviour in In-bath Type Smelting Reduction Furnace": ISIJ International, Vol. 32, 1(1992), 102-110.